

резонансные свойства резонатора слабо выражены на фоне резонансных свойств спектральной линии. При этом частота генерируемого излучения  $\omega_g$  будет близка к частоте перехода  $\omega_2$ .

Если же  $\Delta\omega_p \ll \Delta\omega_{\text{л}}$ , то резонатор существенно влияет на частоту генерируемого излучения. Активное вещество обладает дисперсией показателя преломления. Поэтому фазовая скорость распространения волны  $c_{\text{л}}$  между зеркалами зависит от её частоты (длины волн). Для стационарной генерации необходимо, чтобы при распространении (проходе) волны от одного зеркала до другого и обратно «набег» фазы составлял целое число ( $n$ ) периодов:  $2L\omega/c_{\text{л}} = 2\pi n$ . С другой стороны, из-за интерференции многократно отражённых волн между зеркалами должны устанавливаться колебания, при которых между зеркалами укладывается целое число ( $p$ ) полу-

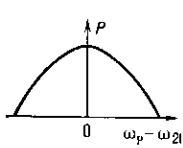


Рис. 6. Зависимость мощности генерации  $P$  от разности  $\omega_p - \omega_{21}$ .

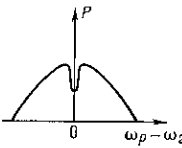


Рис. 7. Зависимость  $P(\omega_p - \omega_{21})$  для двухзеркального лазера в случае, когда уширение спектральной линии обусловлено эффектом Доплера.

воли:  $2L/\lambda = p$ . В реальном резонаторе требуемая точность выполнения этого условия порядка  $\Delta\omega_p$ . Устанавливающаяся частота генерации  $\omega_g$  должна быть такой, чтобы были выполнены оба соотношения. Теория даёт для  $\omega_g$  соотношение

$$(\omega_g - \omega_{21}) \Delta\omega_p = (\omega_p - \omega_g) \Delta\omega_{\text{л}}. \quad (9)$$

Из (9) следует, что если ширина спектральной линии  $\Delta\omega_{\text{л}}$  велика по сравнению с  $\Delta\omega_p$ , то  $\omega_g \approx \omega_p$ .

Наиболее благоприятные условия для генерации возникают, когда резонансная частота спектральной линии  $\omega_{21}$  и собственная частота резонатора  $\omega_p$  совпадают. В этом случае при заданной мощности накачки Л. излучает наибольшую мощность. По мере отклонения  $\omega_p$  от  $\omega_{21}$  генерируемая мощность  $P$  будет уменьшаться и при достаточно большой расстройке ( $\omega_p - \omega_{21}$ ) генерация может совсем исчезнуть (рис. 6).

Однако такая простая зависимость  $P$  от  $\omega_p - \omega_{21}$  справедлива не всегда. Характер её определяется режимом работы Л. и механизмом уширения спектральной линии активного вещества. Для кольцевого Л., работающего на одной волне, бегущей в определенном направлении, зависимость  $P$  от  $\omega_p - \omega_{21}$  всегда соответствует рис. 6. Для двухзеркального Л., если решающий вклад в ширину спектральной линии вносит эффект Доплера,  $P(\omega_p - \omega_{21})$  имеет минимум при  $\omega_p = \omega_{21}$ , наз. провалом Лэмба (рис. 7). Частотная ширина провала определяется тем вкладом в ширину линии, который вносят межатомные соударения и спонтанное излучение. Этот «провал» используется для стабилизации частоты Л. (см. *Оптические стандарты частоты*).

**Режим работы лазеров.** Накачка Л. может осуществляться как непрерывно, так и импульсно. При длительном (непрерывном) режиме вводимая в активную среду мощность накачки ограничена перегревом активной среды и связанными с ним явлениями. В режиме одиночных импульсов возможно введение в активную среду значительно большей энергии, чем за то же время в непрерывном режиме. Это обуславливает большую мощность одиночного импульса. Но и при непрерывной накачке возможны различные режимы работы Л., существенно зависящие от соотношения двух характерных времён: времени затухания эл.-магн. поля в резонаторе  $\tau_p = (\Delta\omega_p)^{-1}$  и времени  $\tau_1$  установления стационарного распределения частиц по рабочим энергетическим уровням под действием накачки, но в отсутствие

эл.-магн. поля. Последнее зависит от времени жизни частиц на уровнях и от интенсивности накачки.

Если  $\tau_p \ll \tau_1$ , то Л. паряду с режимом непрерывной генерации может генерировать периодическую последовательность импульсов (рис. 8). Временной интервал между импульсами

$$\tau_c \approx \left( \frac{\tau_p \tau_1}{\eta_{\omega} - 1} \cdot \frac{P_{\text{макс}}}{P_{\text{ст}}} \right)^{1/2}, \quad (10)$$

длительность импульса

$$\tau_i \approx \left( \frac{\tau_p \tau_1}{\eta_{\omega} - 1} \cdot \frac{P_{\text{ст}}}{P_{\text{макс}}} \right)^{1/2}. \quad (11)$$

Здесь  $P_{\text{макс}}$  — пиковая мощность импульса,  $P_{\text{ст}}$  — ср. мощность генерации. По мере увеличения отношения  $P_{\text{макс}}/P_{\text{ст}}$  длительность импульсов сокращается, а

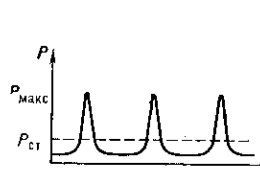


Рис. 8. Импульсный режим работы лазера;  $P$  — мощность генерации.

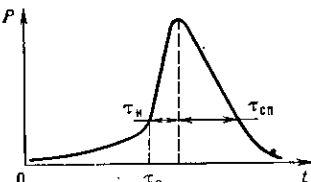


Рис. 9. Генерация гигантских импульсов.

расстояние между ними возрастает, так что ср. мощность остаётся постоянной, если не меняется мощность накачки.

«Раскачать» такие импульсы в Л. удается путём неглубокой модуляции коэф. отражения зеркал или мощности накачки. Глубина модуляции пропорц.  $\tau_1/\tau_p$  и в ряде практически важных случаев порядка  $10^{-2}$ — $10^{-3}$ . Возможна даже «раскачка» пульсаций Л. за счёт флуктуаций мощности накачки и параметров, без внешней принудительной модуляции. В Л. со сравнительно малым временем релаксации населённости уровней ( $\tau_1 < \tau_p$ ) режимы глубоких пульсаций мощности не наблюдаются. Неглубокая модуляция параметров в таких Л. приводит и к неглубокой модуляции выходной мощности.

Л. «предрасположенными» к режимам пульсаций, являются рубиновый, неодимовый, YAG-лазер (см. *Твердотельный лазер*), газовый иодный лазер, CO<sub>2</sub>-лазер (см. *Газоразрядные лазеры*, *полупроводниковые лазеры*). Модуляция параметров в них может приводить к возникновению и хаотич. пульсаций мощности, к которым в фазовом пространстве соответствует сложный набор траекторий, наз. *странным аттрактором*.

**Гигантские импульсы.** В Л. на основе веществ, имеющих сравнительно большое время релаксации  $\tau_1$  возбуждённых частиц, можно осуществить генерацию короткого одиночного импульса достаточно большой энергии и большой мощности. Л. в режиме стационарной генерации не может излучать мощность, превышающую мощность накачки. Но если выбрать вещество с достаточно большим временем релаксации  $\tau_1$  и выключить обратную связь, то, располагая источником накачки сравнительно небольшой мощности, можно на верхнем рабочем уровне накопить большое число  $N_2$  возбуждённых частиц. Если после окончания процесса накопления быстро включить обратную связь, то за счёт большого числа возбуждённых частиц развивается мощный импульс лазерного излучения (рис. 9). При мгновенном включении обратной связи ( $t=0$ ) имеется нек-рое время разгорания импульса  $\tau_3$ , за которым следует быстрое нарастание его за время  $\tau_i$ , а затем более медленный спад ( $\tau_{\text{сп}}$ ). По порядку величины

$$\tau_3 = \frac{\tau_p}{\eta_{\omega} - 1} \ln \frac{\Delta N_2 V}{20}; \quad \tau_i = \frac{\tau_p}{\eta_{\omega} - 1}; \quad \tau_{\text{сп}} \approx \tau_p. \quad (12)$$